

## 塩化ジルコニウム(IV)からの窒化ジルコニウム 粉末の合成

神山美英・荒川敏彦・森忠芸・飯田武揚・三田村孝

(埼玉大学 工学部 応用化学科)

ハロゲン化物法により、窒素ガス流通(100~200 ml/min)下、200°~1050°Cの温度範囲でZrCl<sub>4</sub>からのZrN粉末の合成を試みた。特に、還元剤の影響に着目し、Al、Mg及びZn粉末の3種類について比較検討した。これら還元剤の中ではAlが最も有効で、800°C以上でZrNが生成した。しかし、窒化の進行が遅い場合は合金相のAl<sub>3</sub>Zrが生成した。この窒化反応の見掛けの活性化エネルギーは約28.7 kcal/mol(850°~1050°C)であった。1050°C、1 h反応で得られた生成物は微粉末(0.1~0.3 μm)で、単相のZrNであり、格子定数aは4.575 Å、結晶子径は259 Åであった。しかし、ZrCl<sub>4</sub>の昇華損失によりAlの残留が認められた。残留Alは1 N水酸化ナトリウムでほぼ除去できた。一方、Mgでは窒化反応の進行が遅く、ZrNは粗大粒子となつた。また、ZnではZrNを合成することはできなかつた。

(1983年6月20日受付)

### Preparation of Zirconium Nitride Powder from Zirconium Chloride (IV)

Yoshihide KAMIYAMA, Toshihiko ARAKAWA, Tadaaki MORI,  
Takeaki IIDA and Takashi MITAMURA

{Department of Applied Chemistry, Faculty of Engineering,  
Saitama University  
255, Shimo-ohkubo, Urawa-shi 338}

ZrN powder was prepared from ZrCl<sub>4</sub> by the halogenide process in a nitrogen gas flow (100-200 ml/min) at the temperatures from 200°C to 1050°C. Particularly, the influences of reducing agents, Al, Mg and Zn powder were examined. The Al powder was found to be the most effective reducing agent among them, and ZrN powder was obtained above 800°C. In the slow nitriding reaction, however, an alloy phase of Al<sub>3</sub>Zr was formed. The apparent activation energy of the reaction was 28.7 kcal/mol (850°-1050°C). The fine powder (0.1-0.3 μm) of one-phase ZrN was obtained at 1050°C after 1 h. The lattice parameter *a* and the crystallite size of ZrN were 4.575 Å and 259 Å, respectively. However, because of the sublimation loss of ZrCl<sub>4</sub>, the residual Al was found in the products. This Al was removed almost completely by washing with 1 N NaOH. On the other hand, in the system ZrCl<sub>4</sub>-Mg-N<sub>2</sub>, the process of the nitriding reaction was slow, and only coarse particles of ZrN were obtained. In the system ZrCl<sub>4</sub>-Zn-N<sub>2</sub>, ZrN was not prepared.

[Received June 20, 1983]

**Key-words :** Preparation, ZrN powder, ZrCl<sub>4</sub>, Halogenide process, Nitrogen, Reducing agent, System ZrCl<sub>4</sub>-Al-N<sub>2</sub>, System ZrCl<sub>4</sub>-Mg-N<sub>2</sub>

### 1. 緒言

窒化ジルコニウム(以下ZrNとする)は、高融点(2982°C)、高硬度(微小硬度; 1500 kg/mm<sup>2</sup>)を有し、熱的、電気的にも興味深い性質を持つ化合物である<sup>1)</sup>。出発原料に塩化ジルコニウム(IV)(以下ZrCl<sub>4</sub>とする)を用い、気相からのZrNの析出については、ZrCl<sub>4</sub>-H<sub>2</sub>-N<sub>2</sub>系でAgteらのタンゲステン線上での析出<sup>2)</sup>,

Campbellらの黒鉛上への被覆<sup>3)</sup>に関する報告、また、黒鉛基板上でのホイスカーの成長について高橋ら<sup>4)</sup>、及び、三好ら<sup>5)</sup>の報告がある。このほか、JuzaらはZrCl<sub>4</sub>のアンモニアシスにより金属状のZrNを得ている<sup>6)</sup>。

著者らは、ハロゲン化物法<sup>7)</sup>により各種の遷移金属窒化物(UN<sup>8</sup>)、TiN<sup>9),10)</sup>、CrN<sup>11)</sup>粉末の合成について報告してきた。本研究では、ZrCl<sub>4</sub>からのZrNの合成を

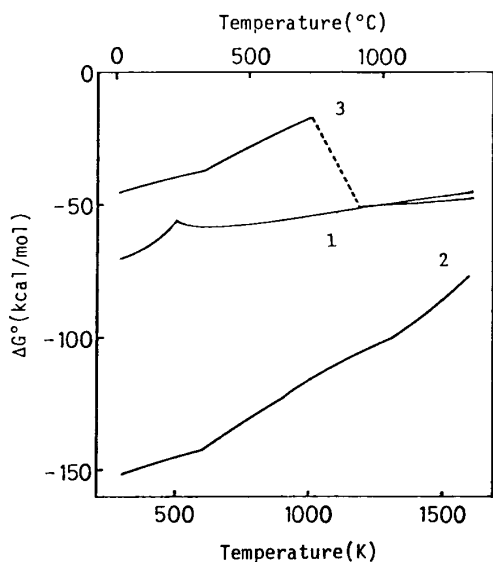
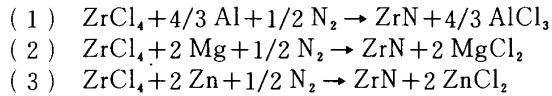


Fig. 1. Free energy changes of formation for the system of  $\text{ZrCl}_4\text{-Al-N}_2$ .  
Reaction :



試み、その生成条件と反応機構を検討した。この際、還元剤にアルミニウム、マグネシウム及び亜鉛（以下 Al, Mg 及び Zn とする）粉末を用いて比較した。図 1 に 300~1600 K の温度範囲で各還元金属存在下での ZrN 生成反応についての生成自由エネルギー変化  $\Delta G^\circ$  を示す<sup>12), 13)</sup>。これによると、いずれの系でも ZrN の生成が自発的に進むことが可能であるが、還元力は Mg が最も強く、また、Zn の還元力は沸点（930°C）以上で発揮されることが示唆される。Al の還元力は両者の中間に位置するようである。

## 2. 実験方法

市販の  $\text{ZrCl}_4$  (Alfa Chemical 製、純度 98%) を昇華精製したものと還元金属粉末（福田金属箔粉工業製、Al : スタンプ法、純度 99.9%、Mg : 粉碎法、純度 99% 以上、Zn : 噴霧法、純度 99.8%）を用い、いずれも粒度を 200 メッシュ以下にそろえ、十分に窒素ガス置換したグローブボックス内で混合し、出発試料とした。試料混合比は図 1 に示した反応に従い、モル比で  $\text{ZrCl}_4 : \text{Al} = 3 : 4$  及び  $3 : 3.2$ 、 $\text{ZrCl}_4 : \text{Mg} = 1 : 2$ 、 $\text{ZrCl}_4 : \text{Zn} = 1 : 2$  とした。

図 2 に合成装置図の概略を示す。合成方法は、グローブボックス内で出発試料約 0.5 g を反応ポート（Al あるいは Zn を含む試料では石英製、 $10 \times 13 \times 80$  mm 厚さ 1 mm、Mg を含む試料では黒鉛製、 $11 \times 13 \times 65$  mm 厚さ 2 mm）にとり、重量減少率を測定する場合は、ポートの重量をあらかじめ計り、ポートごと試料を精ひょうして初重量とした。これを透明石英製反応管（内径 30

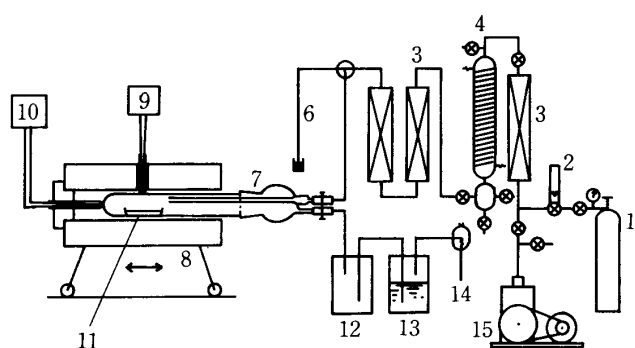


Fig. 2. Schematic diagram of reaction apparatus for preparation of  $\text{ZrN}$ .

(1) : Cylinder ( $\text{N}_2$  or Ar), (2) : Flowmeter, (3) :  $\text{CaCl}_2$  tube, (4) : Activated Cu, (5) : Zeolite tube, (6) : Hg Manometer, (7) : Reaction tube, (8) : Electric furnace, (9) : Thermometer, (10) : Temp. controller, (11) : Sample and reaction boat, (12) : Receiver, (13) : Scrubbing bottle, (14) : Water-jet pump, (15) : Vacuum pump

$\text{mm}\phi$ 、長さ 450 mm) 内に装てんし、合成装置に接続した。反応系内の排気及び精製窒素ガス置換を数回繰り返したのち常圧で窒素ガスを流通させた。窒素ガスの精製は、脱酸素用の活性化銅管（160°C に加熱）、乾燥用の塩化カルシウム管及びゼオライト管を用い、ガス流量は 100~200 ml/min とした。この状態で所定の温度に昇温しておいた電気炉を移動させ反応を開始し、所定時間後電気炉を戻してから反応管を室温まで水で急冷して反応を終了した。反応後の試料重量はポートごと生成物をひょう量して求めた。

得られた生成物については、粉末法 X 線回折試験（理学電機製 DS 型 X 線回折装置）による同定、定量、格子定数及び結晶子径の測定、走査型電子顕微鏡 (SEM)（島津製作所製、EMX-SM）による表面観察、比表面積の測定等を行った。X 線回折による定量等は、 $\text{ZrCl}_4\text{-Al-N}_2$  系では Si (99.9%) を  $\text{ZrCl}_4\text{-Mg-N}_2$  系では Al (99.9%) を用いた内部標準法により行い、生成 ZrN の結晶子径は Scherrer の式<sup>14)</sup>を用いて計算した。また、比表面積は、窒素ガス吸着量を測定し、BET (一点法)<sup>15)</sup> により算出した。

## 3. 実験結果及び考察

### 3.1 $\text{ZrN}$ の合成に及ぼす Al の影響

従来、還元金属は主として Al 粉末が用いられており<sup>8)~11), 16)~18)</sup>、長時間保存しても比較的酸化が進まず、安全性も高いなどの利点がある。また、副生物の塩化アルミニウム (III) (以下  $\text{AlCl}_3$  とする) が比較的低温 (182.7°C) で昇華するため生成物から容易に除去される。

図 3 に、 $\text{ZrCl}_4\text{-Al-N}_2$  系、1 h 反応の生成物を X 線回折試験で定量した結果を示す。反応温度は 200°~

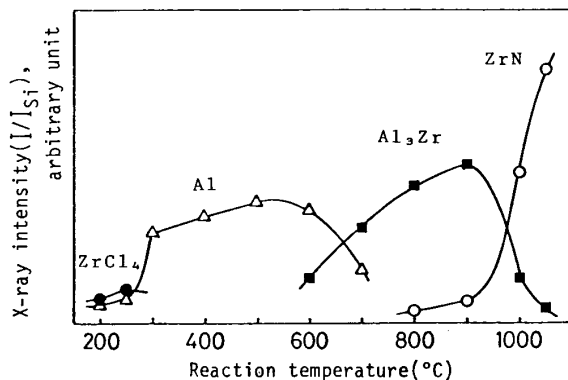


Fig. 3. Changes in relative intensity of X-ray diffraction lines for the products obtained by heating the powder mixture of  $\text{ZrCl}_4$  and Al (3 : 3.2, molar ratio) in  $\text{N}_2$ .

Holding time : 1 h

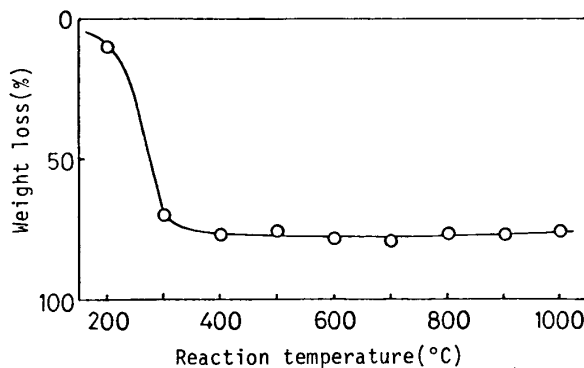


Fig. 4. Relationship between weight loss and reaction temperature in the reaction of the system of  $\text{ZrCl}_4\text{-Al-N}_2$  ( $\text{ZrCl}_4 : \text{Al} = 3 : 4$ , molar ratio).

Holding time : 1 h

1050°C の範囲である。ここでは、出発試料中の Al 混合比は量論比であるが、80% にしても同様の結果であった。

反応中、副生した  $\text{AlCl}_3$  と一部昇華した  $\text{ZrCl}_4$  は白煙となり反応管の冷温部に付着するが、300°C 以下ではわずかであった。ポート中の生成物には、300°C 付近までは  $\text{ZrCl}_4$  が存在するが 400°C 以上では見られなかった。しかし、300°C 付近の反応では、塩化ジルコニウム(Ⅲ)（以下  $\text{ZrCl}_3$  とする）が見られることがあり、反応管の付着物中に  $\text{AlCl}_3$  の存在が確認されたことから低温でも還元反応が起きていることが分る。500°C までは  $\text{ZrCl}_4$  の昇華が還元反応より優先したが、600°C よりアルミニウム-ジルコニウム合金 ( $\text{Al}_3\text{Zr}$ ) 相が生成し、700°C で主生成物となった。金属 Zr の回折線が見られなかつたが、800°C 以上で ZrN が生成し、1050°C ではほぼ ZrN 単相となつた。

次に、 $\text{ZrCl}_4\text{-Al-N}_2$  系 1 h 反応における試料の重量減少率変化を図 4 に示す。試料混合比が  $\text{ZrCl}_4 : \text{Al} = 3 : 4$  のとき、反応が完結した場合の重量減少率は 60.9%（理論値）になる。図から分かるように 300°C の反応で、

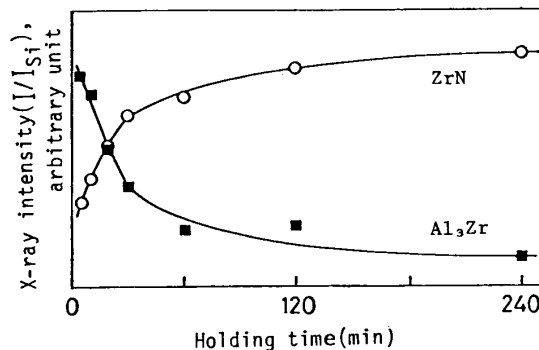


Fig. 5. Changes in relative intensity of X-ray diffraction lines for the products obtained by heating the powder mixture of  $\text{ZrCl}_4$  and Al (3 : 3.2, molar ratio) in  $\text{N}_2$ .

Reaction temperature : 1000°C

既に 69.9% となり理論値を上回った。これは未反応の  $\text{ZrCl}_4$  の一部昇華（昇華温度 331°C）が原因と思われる。300°C 以上ではポート中の生成物中には  $\text{ZrCl}_4$  の回折線は見られなかった。400°C 以上でほぼ一定の約 75% となつた。なお、800°C 以下では窒化反応よりも還元反応が優先して起こるため、窒化反応による重量増加はほとんど認められなかつた。また、図 3 から明らかなように、窒化反応は 1000°C 以上で著しく起こる。したがつて、400°C~1000°C の温度領域では重量変化がほぼ一定となる。

生成物の経時変化を調べるために、1000°C, 5~240 min の反応を行い、生成物をケイ素内部標準の X 線回折試験で定量した結果を図 5 に示す。反応初期において既に塩化物は存在せず、 $\text{Al}_3\text{Zr}$  が生成した。時間の経過に伴い  $\text{Al}_3\text{Zr}$  は減少し ZrN の生成量が増大した。ZrN は 30 min までの比較的短時間のうちに急激な生成量の増加を示した。これと並行して重量減少率の変化を調べたところ、反応開始後 5 min でほぼ一定値に達しており、白煙の発生も観測されないことからこの温度では反応が短時間で終了することが分る。5 min でほぼ一定値に達するのは、この時点で ZrN は 50% 程度生成しており、また、反応の進行に伴い試料の Al 及び Zr 塩化物の蒸発が起り Zr の窒化による重量増とほぼバランスがとれたためと思われる。したがつて、見掛け上、重量の変化がない。

そこで、ZrN の生成速度を検討するために、850°C~1050°C の範囲で 50°C 間隔に ZrN 生成量の経時変化を調べた。生成物を X 線回折試験で定量した結果を図 6 に示す。各温度とも反応開始後 10~20 min で ZrN 生成量がほぼ一定量に達しており、窒化反応が短時間に進行することが分った。また、ZrN 生成量は 950°C 以上で急増しており、反応温度が窒化物の生成に大きな影響を与えることが示唆される。

この結果をもとに、窒化反応の見掛けの活性化エネルギー

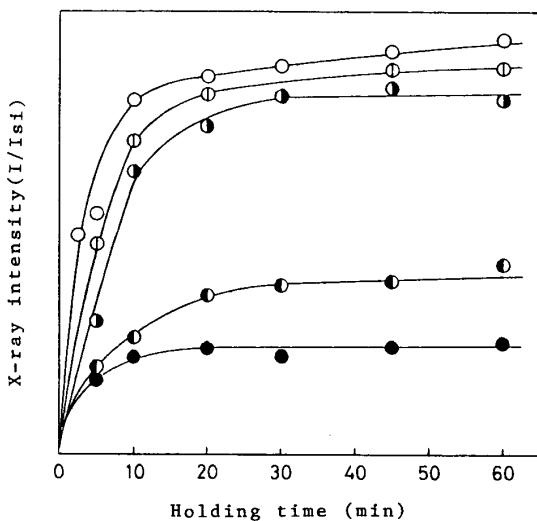


Fig. 6. Changes in relative intensity of X-ray diffraction line for ZrN obtained by heating the powder mixture of  $ZrCl_4$  and Al (3:4) in  $N_2$ . Reaction temperature : ● 850°C, ○ 900°C, ◐ 950°C, ○ 1000°C, ○ 1050°C

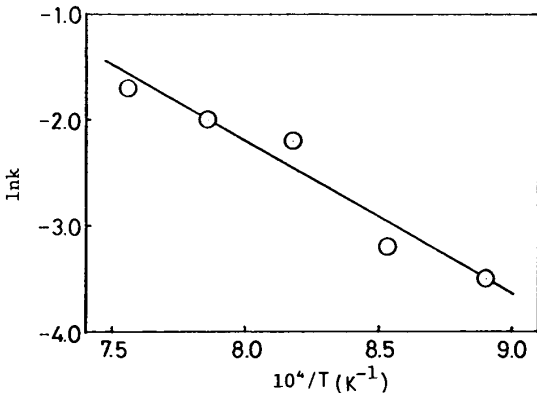


Fig. 7. Arrhenius plot for the system of  $ZrCl_4$ -Al- $N_2$ . ギーを算出した。反応の初期段階を1次反応と仮定し、1050°C、1 h の ZrN 生成量を基準とし、ZrN 生成量の比から反応率を求め、各温度で速度定数  $k$  を決定し、Arrhenius プロットを行った。図 7 にその結果を示す。こう配から見掛けの活性化エネルギーは約 28.7 kcal/mol となった。Zr の窒化反応における活性化エネルギーについては、幾つかの報告があるが、若尾らは、昇温法により 860°~980°C の温度範囲で市販 Zr 粉末の窒化では 44.2 kcal/mol、脱水素 Zr 粉末の窒化では 40.4 kcal/mol と報告している<sup>19)</sup>。単純には比較できないが、本実験の結果はこれらを下回っており反応が容易に起こることを示唆している。

$ZrCl_4$ -Al- $N_2$  系では生成物が  $Al_3Zr$  から  $ZrN$  へ移行する過程がみられた。 $Al_3Zr$  は未反応の Al が残留した結果生成したと考えられるので、 $Al_3Zr$  が  $ZrN$  の生成に与える影響を検討した。まず、流通ガスをアルゴンとし、200°~1100°C の温度範囲で 1 h 反応させた生成物の X 線回折試験による定量結果を図 8 に示す。 $Al_3Zr$  の生成は 500°C から始まり、900°C で最大量となった。

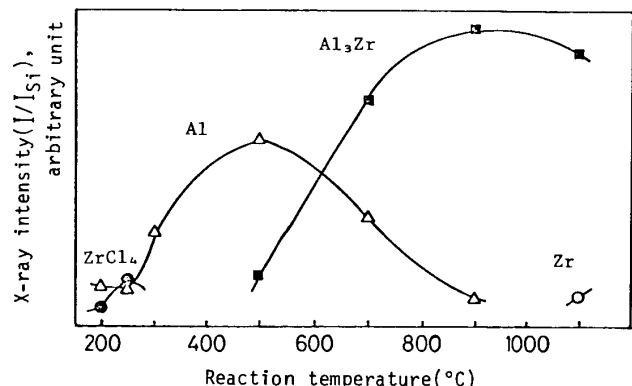


Fig. 8. Changes in relative intensity of X-ray diffraction lines for the products obtained by heating the powder mixture of  $ZrCl_4$  and Al (3:4, molar ratio) in Ar. Holding time : 1 h

また、Al は 900°C まで確認され、1100°C で Zr がわずかに見られた。この結果、窒化が進まなければ高温でも  $Al_3Zr$  が残留することが分った。

そこで、Al と Zr (和光純薬工業製、97% 以上粒度 200 メッシュ以下) のモル混合比が  $Zr : Al = 1 : 1$ , 1:2 及び 1:3 の粉末混合物を調製し、 $N_2$  ガス流通下で 1 h 加熱し、生成物を X 線回折試験で調べた。 $Al-Zr$  合金の生成は、Al の融点 (660°C) 以上で見られたが、1:3 の試料を用いると  $Al_3Zr$  のみが生成するのに対し、1:2 及び 1:1 の試料では 700°C で  $Al_3Zr_2$ ,  $Al_2Zr$  の合金相が見られた。1000°C 以上では、各試料とも  $ZrN$  が生成したが、生成量は Al の割合が少ない試料ほど多かった。図 9 に X 線回折線の一例を示す。1:3 の試料は 1050°C で加熱しても  $Al_3Zr$  量が多いことが分る。また、1:2 の 1000°C では  $Al_2Zr$  の回折線がわずかに見られたが、保持時間を長くすると見られなくなった。 $Al_3Zr$  の融点は 1580°C と高く<sup>20)</sup>、安定な合金相であり、1000°C 程度の反応温度では、Zr を離脱させ  $ZrN$  を生成することは容易ではないと考えられる。また、塩化物は反応初期でほとんど見られなくなり、竹之内らが  $TiCl_3$ -Al- $N_2$  系から  $TiN$  の生成の際に提案した合金からの“引き抜き反応”<sup>10)</sup> が起こる可能性もない。むしろ、反応中は、生成した Zr と残留 Al が共存しても直ちに安定な  $Al_3Zr$  相とならず、N と Zr が反応できる状態にあるが、窒化が進まない場合は、結果的に  $Al_3Zr$  が生成すると考えられる。このことは、アルゴンガス流通下で反応を行い、更に、流通ガスを窒素に換えて得られた生成物では、同じ温度で窒化のみを行った場合よりも  $Al_3Zr$  量が多くなることからも分る。また、時間の経過に伴い  $Al_3Zr$  量が減少するのは未反応の Zr 塩化物と反応して  $AlCl_3$  を生成し、分離した Zr が N と反応するためと思われる。

ここで、以上の結果をもとに反応過程をまとめると、300°C 付近で還元が始まり、 $ZrCl_3$  が生成する。ただし、 $ZrCl_4$  の昇華量が多く、 $ZrCl_3$  は生成してもわずかであ

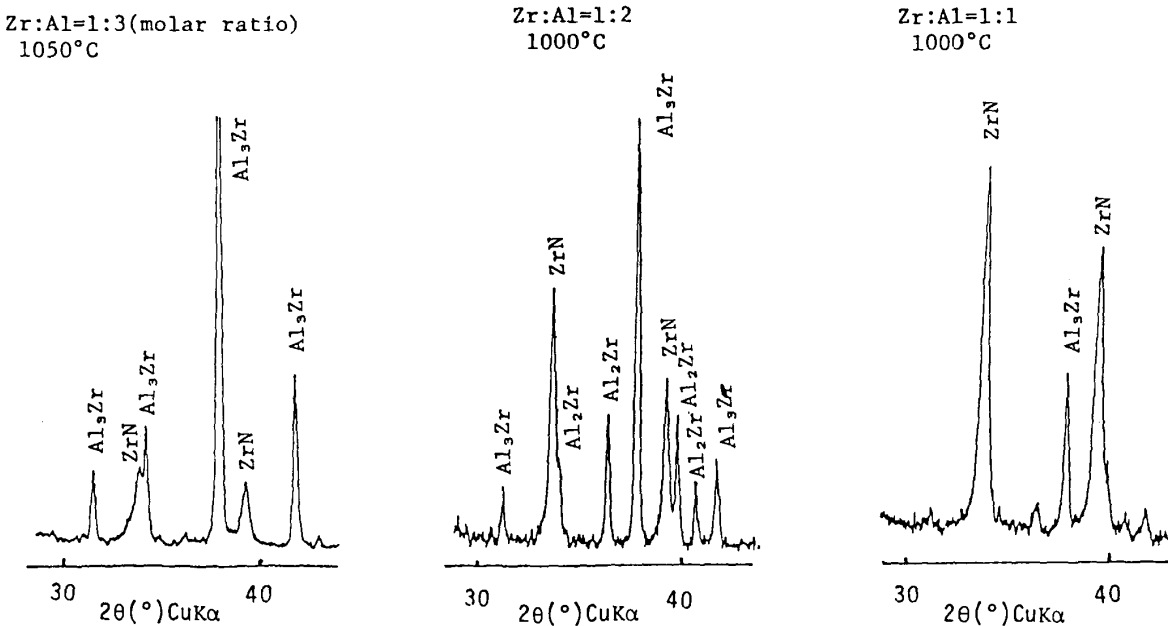
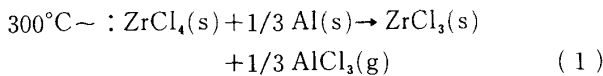


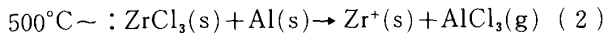
Fig. 9. X-ray diffraction patterns of the products obtained by heating the powder mixture of Zr and Al in N<sub>2</sub>. Holding time : 1 h

る。また、ZrCl<sub>3</sub>は分解に際して、不均化反応によりZrCl<sub>4</sub>とZrCl<sub>2</sub>になると思われるが、分解温度が350°Cと低いため、生成しても生成物中に残らない可能性がある。たとえ残留したとしてもX線で十分同定できるほどの量は存在しない。

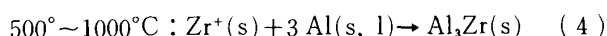
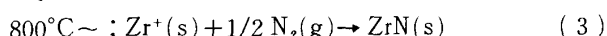


ここで、(s)は固体、(g)は気体を示す。

500°C以上では、更に還元が進み、活性なZr(以下Zr<sup>+</sup>とする)が生成する。



Zr<sup>+</sup>は直ちにAlあるいは窒素と結合する。800°CからはZrNが生成するが、窒化が進まない場合にはAl<sub>3</sub>Zrとなる。



ここで、(l)は液体を示す。

図10に、1950°C、1h反応で得られた粉末の走査型電子顕微鏡写真を示す。0.1~0.3μm程度の粒子が凝集している様子が観察される。この生成物のZrN相の格子定数aは4.575 Åで文献値4.577 Åに近いことから、ほぼ量論組成比に近いものが得られたことが分る。また、ZrNの結晶子径の平均値は259 Å、比表面積は22.7 m<sup>2</sup>/gであった。

生成物中には、わずかのAlが残留することもあるが、試料を加圧成形し、原料粉末間の接触を改善すれば、反応率が向上し、残留Alは減少するものと思われる。Alが残留した生成物を常温で1N水酸化ナトリウム溶液中に放置したのち、蒸留水及びアセトンで洗浄したところ



Fig. 10. Scanning electron micrograph of the product obtained by heating the powder mixture of ZrCl<sub>4</sub> and Al (3:4, molar ratio) in N<sub>2</sub>, 1050°C, 1 h

ろほぼ未反応のAlが除去できることが分った。しかし、わずかに残留するAl<sub>3</sub>Zrは水酸化ナトリウム処理では除去することはできなかった。

### 3.2 ZrNの合成に及ぼすMg及びZnの影響

Mgは還元力が強く、金属ジルコニウムの製造法としてはZrCl<sub>4</sub>をMgで還元する方法<sup>21)</sup>が一般的である。しかし、副生物の塩化マグネシウム(II)の沸点が1418°Cと高く、生成物中に残留して反応を中断してしまうため<sup>22)</sup>、ハロゲン化物法でMgを用いた報告はない。

図11に、ZrCl<sub>4</sub>-Mg-N<sub>2</sub>系、1000°C、1h反応の生成物のX線回折図の一例を示す。合金相は見られないが、Zrの回折線が見られ、窒化が十分に進んでいないことが分る。また、得られたZrNは、かなり大きな粒子の集合体であった。

一方、Znは還元力はあまり強くないが、副生物の塩化亜鉛(II)が730°Cで気化する。Zn自身も沸点が

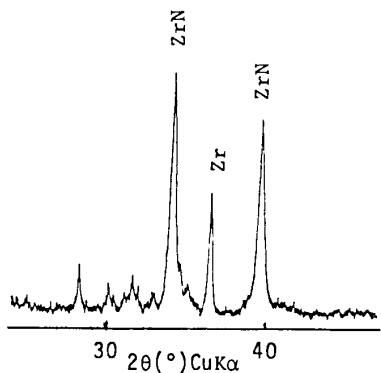


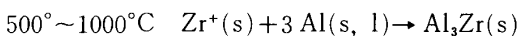
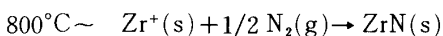
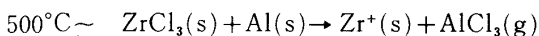
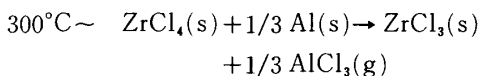
Fig. 11. X-ray diffraction pattern of the product obtained by heating the powder mixture of  $ZrCl_4$  and Mg (1:2, molar ratio) in  $N_2$ .

Holding time : 1 h

930°C であることから純度の高い目的物質を得ることが期待できる。ハロゲン化物法でも、炭化ニオブの合成<sup>23)</sup>で有効であった。しかし、 $ZrCl_4$ -Zn-N<sub>2</sub>系では  $ZrN$  を得ることができなかった。これは、Zn の還元力は沸点以下ではほとんど発揮されず、 $ZrCl_4$  の昇華のみが起つたためであると考えられる。

#### 4. 結 言

本研究では、還元剤に Al, Mg 及び Zn の粉末を用い、窒素ガス流通下で  $ZrCl_4$  からの  $ZrN$  の合成を試みた。まず、 $ZrCl_4$ -Al-N<sub>2</sub>系では次のような過程で反応が進行することが分った。



$ZrN$  の生成は 800°C より開始するが、 $ZrCl_4$  の昇華損失が大きく、Al の残留も認められた。この Al の残留により、窒化が進まない場合、 $Al_3Zr$  が生成することが明らかとなった。この窒化反応の見掛けの活性化エネルギーは約 28.7 kcal/mol ( $850^\circ \sim 1050^\circ C$ ) であった。1050°C、1 h 反応で得られた生成物は微粉末で、 $ZrN$  相の格子定数  $a$  が 4.575 Å、結晶子径が 259 Å であった。

Mg 還元では、Al 還元に比べて窒化の進行が遅く、粗大粒子となつた。また、Zn 還元では  $ZrN$  を得ることはできなかつた。

以上のように、3種類の還元金属の中では、Al が最も有効であり、Al 還元により比較的低温、短時間で  $ZrN$  の微粉末を合成することができた。

#### 文 献

- 1) L. E. Toth, "Transition Metal Carbides and Nitrides". Academic press, New York and London (1971) p. 4-28.
- 2) C. Agte and K. Moers, *Z. Anorg. Allg. Chem.*, 198, 233-75 (1931).
- 3) I. Campbell, C. Powell, D. Nowicki and B. Gonser, *J. Electrochem. Soc.*, 96, 318-33 (1949).
- 4) 高橋武彦, 伊藤秀章, 野口章一郎, 日化, 1975, 627-31.
- 5) 三好正信, 玉利信幸, 加藤昭夫, 日化, 1978, 822-26.
- 6) R. Juza, A. Gabel, H. Rabenau and W. Klose, *Z. Anorg. Allg. Chem.*, 329, 136-45 (1964).
- 7) 三田村 孝, セラミックス, 17, 556-61 (1982).
- 8) T. Mitamura, M. Kanno and T. Mukaibo, *J. Nucl. Sci. Technol.*, 5, 60-64 (1968).
- 9) 森忠芸, 川上登, 竹之内雅典, 三田村孝, 電化, 47, 355-59 (1979).
- 10) 竹之内雅典, 森忠芸, 飯田武揚, 三田村孝, 日化, 1979, 861-68.
- 11) 森忠芸, 大石佳孝, 川上登, 三田村孝, 松田常雄, 電化, 45, 489-90 (1977).
- 12) D. R. Stull, H. Prophet, "JANAF Thermochemical Table", Second edition, Nat. Bur. Stand., U.S. (1971).
- 13) O. Kubaschewski and E. LL. Evans, "Metallurgical Thermochemistry", Pergamon Press Ltd. (1958).
- 14) 日本化学会編, 実験化学講座, 第4巻, "固体物理学", 丸善 (1956) p. 244.
- 15) 慶伊富長, "吸着", 共立出版 (1965) p. 105.
- 16) T. Mitamura, T. Mori and M. Kikuchi, *Denki Kagaku*, 44, 704-08 (1976).
- 17) 森忠芸, 川上登, 神谷純生, 三田村孝, 電化, 45, 454-56 (1977).
- 18) 森忠芸, 川上登, 月館隆明, 三田村孝, 電化, 47, 225-28 (1979).
- 19) 若尾慎二郎, 渡辺恒美, 工化, 72, 2202-10 (1969).
- 20) G. V. Kidson and G. D. Miller, *J. Nucl. Mater.*, 12, 61-69 (1964).
- 21) 石塚博, 公開特許公報, 50-109108.
- 22) F. Gorle, H. Ooms and M. Brabers, *Am. Ceram. Soc. Bull.*, 53, 237-42 (1974).
- 23) 荒川敏彦, 神山美英, 森忠芸, 飯田武揚, 三田村孝, 電化, 50, 357-58 (1982).